

preliminary

# 機械学習を用いた スーパーかミオカンデ大気ニュートリノ 事象選別手法の研究

東京理科大学 松本 遼

# 目次

- 研究背景
  - ニュートリノ
  - スーパーカミオカンデ
  - 大気ニュートリノとニュートリノ振動
- 目的
- 手法
  - Deep Neural Network
  - 入力する変数
  - 手法の詳細
- 結果
- まとめと展望

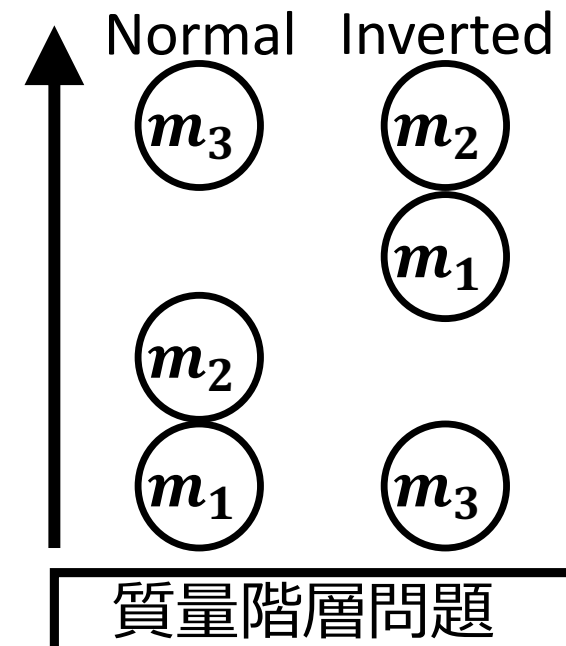
# 研究背景 - ニュートリノ

- 弱い相互作用により相互作用する電荷ゼロの素粒子。
- 3世代  $\nu_e, \nu_\mu, \nu_\tau$  存在することが確認されている。
- 3つの質量状態  $\nu_1, \nu_2, \nu_3$  が存在し、3世代が混ざり合っている。

$$\begin{bmatrix} \nu_e \\ \nu_\mu \\ \nu_\tau \end{bmatrix} = U \begin{bmatrix} \nu_1 \\ \nu_2 \\ \nu_3 \end{bmatrix} \quad (U \text{ is a unitary matrix})$$

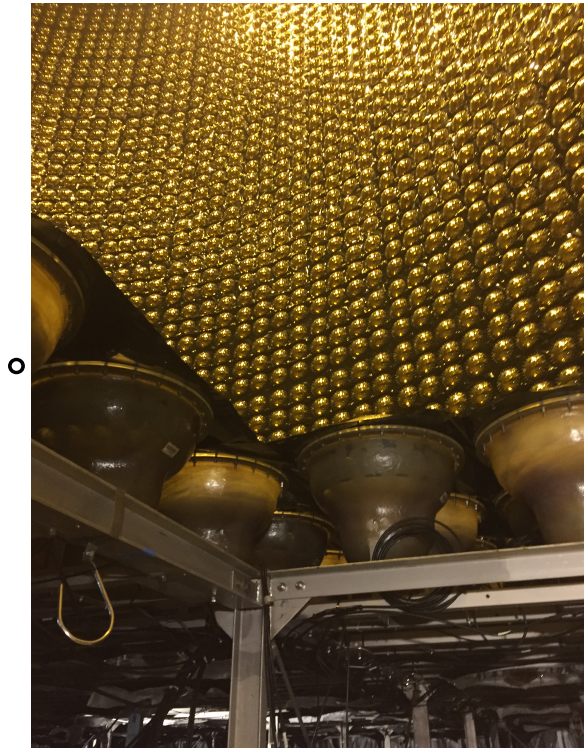
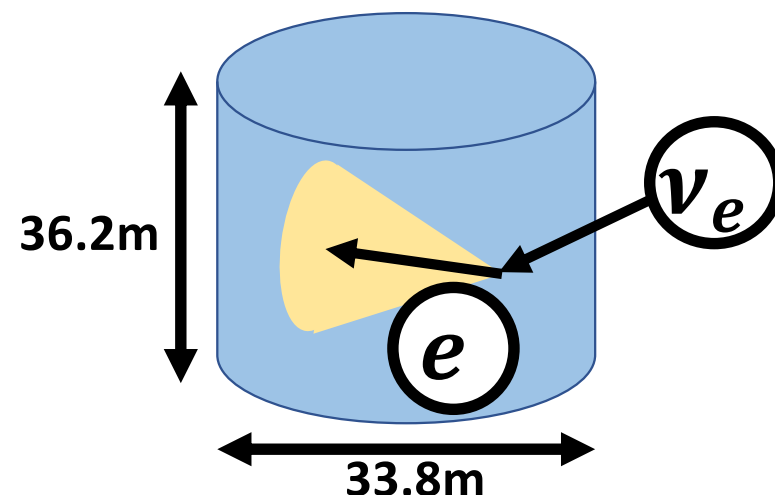
➡ ニュートリノ振動

- 質量の大きさの順序はまだ決定されていない(階層問題)。

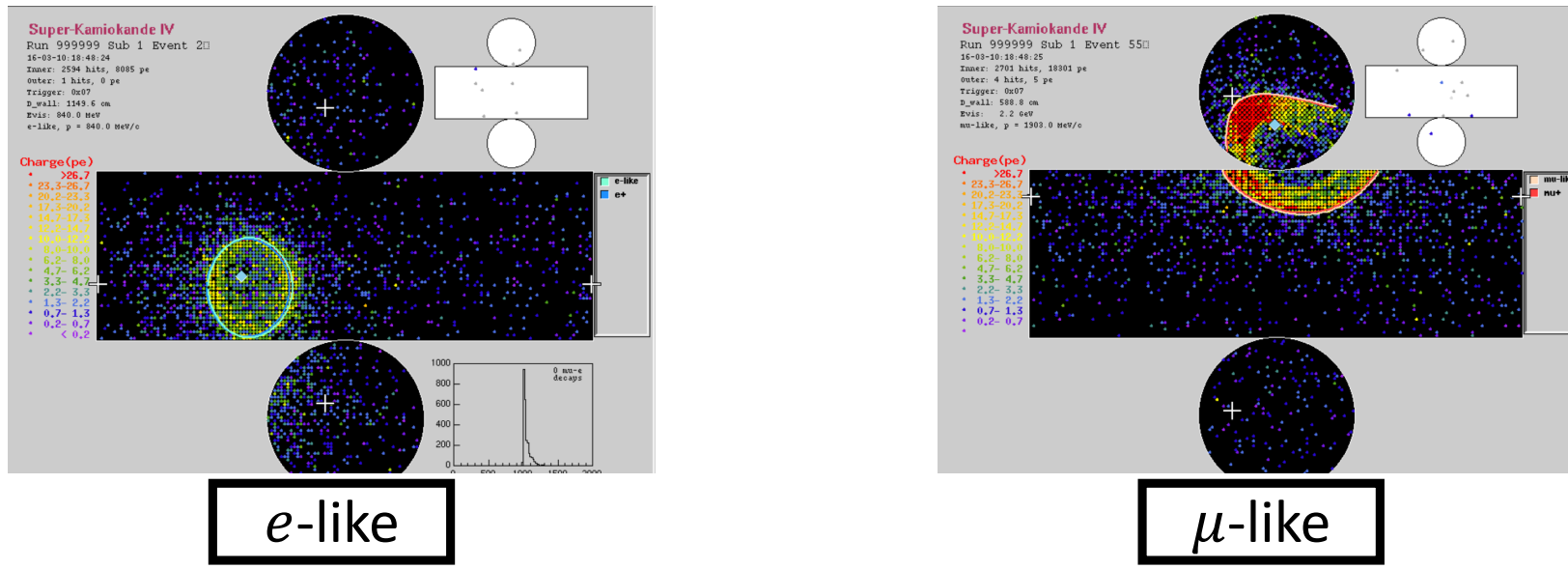


# 研究背景 -スーパー・カミオカンデ-

- ・スーパー・カミオカンデは、巨大水チエレンコフ検出器である。
- ・ニュートリノがタンク内の原子核と衝突することで、荷電レプトン( $e, \mu, \tau$ )に変化し、チエレンコフ光を放出する。
- ・壁には光電子増倍管が取り付けられており、これによってチエレンコフ光を検出する。

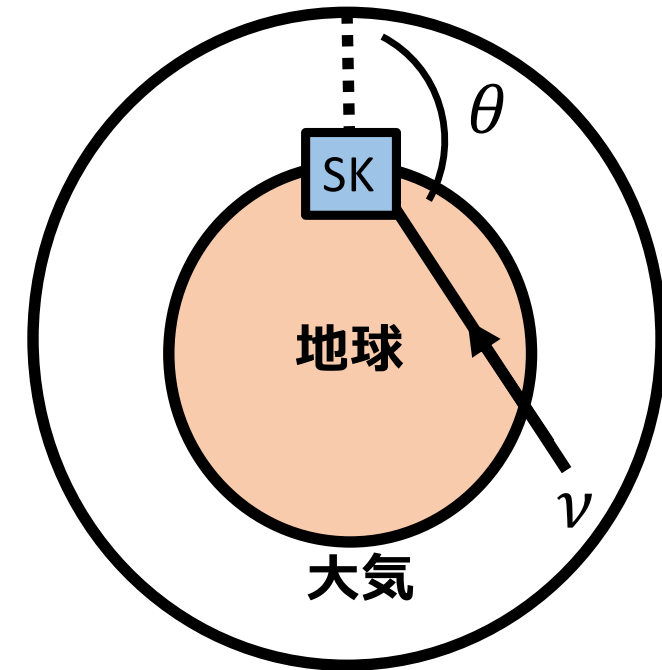
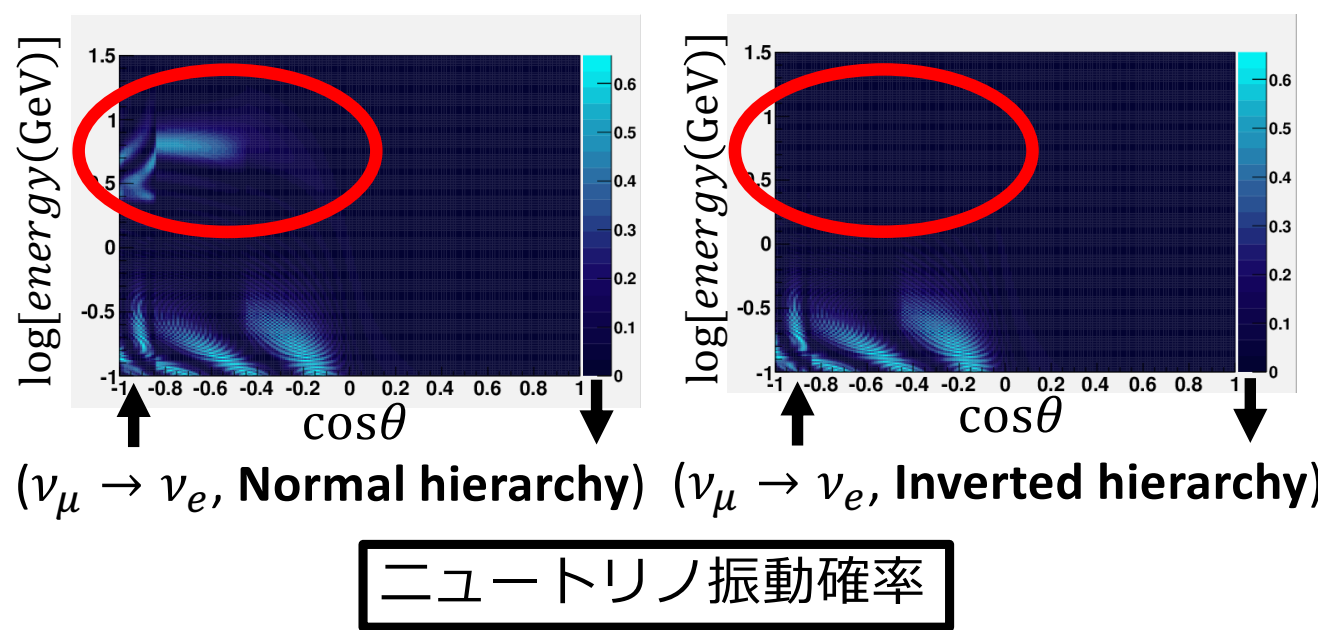


# 研究背景 -スーパーかみオカンデ-



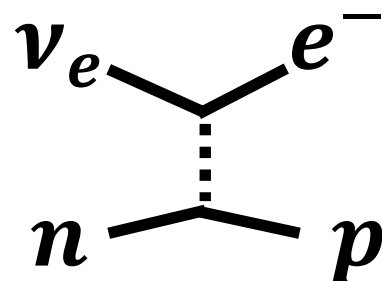
- $\mu$  は  $e$  よりも質量が大きく、チエレンコフリングの輪郭が明瞭に見える。
- $e$  は電磁シャワーを起こすため、リングがぼやけて見える。

# 研究背景 - 大気ニュートリノとニュートリノ振動



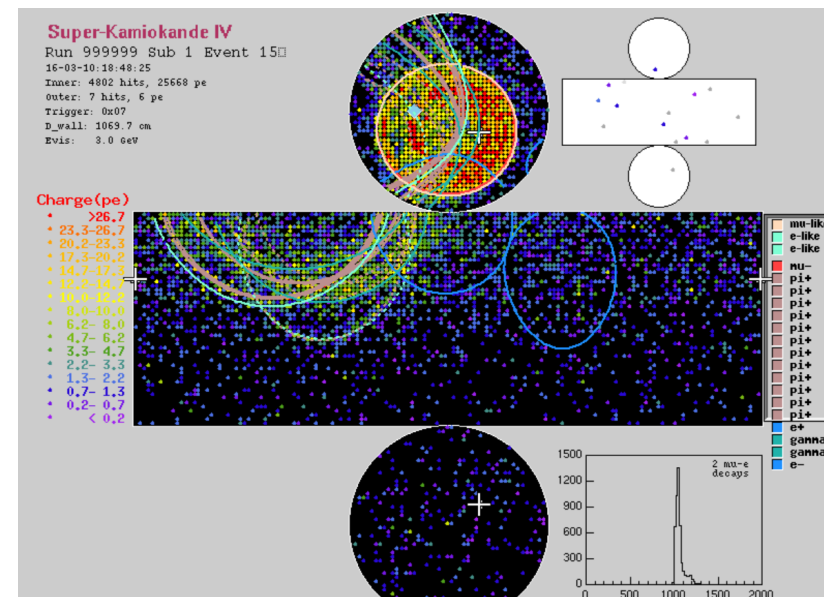
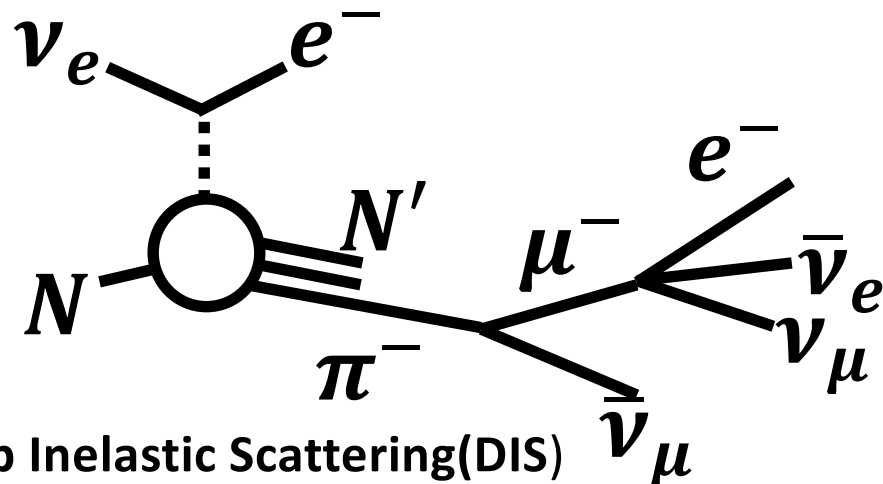
- 宇宙線が大気と衝突し、ハドロンが生成され、それが崩壊し大気ニュートリノが生成される。
- ニュートリノは長距離走行すると、確率的にフレーバーが変化する(ニュートリノ振動)。
- 高エネルギー領域において、大気ニュートリノの振動確率に**質量階層性の違い**が現れる。

# 研究背景 – 高エネルギー領域でのニュートリノ反応



Quasi-Elastic(QE)

- 高エネルギー領域でのニュートリノ反応はDISが主要なものとなる。
- DISではハドロンなどによるチェレンコフリングが複数観測される。
- 粒子の崩壊により発生する電子をdecay electronと呼ぶ。

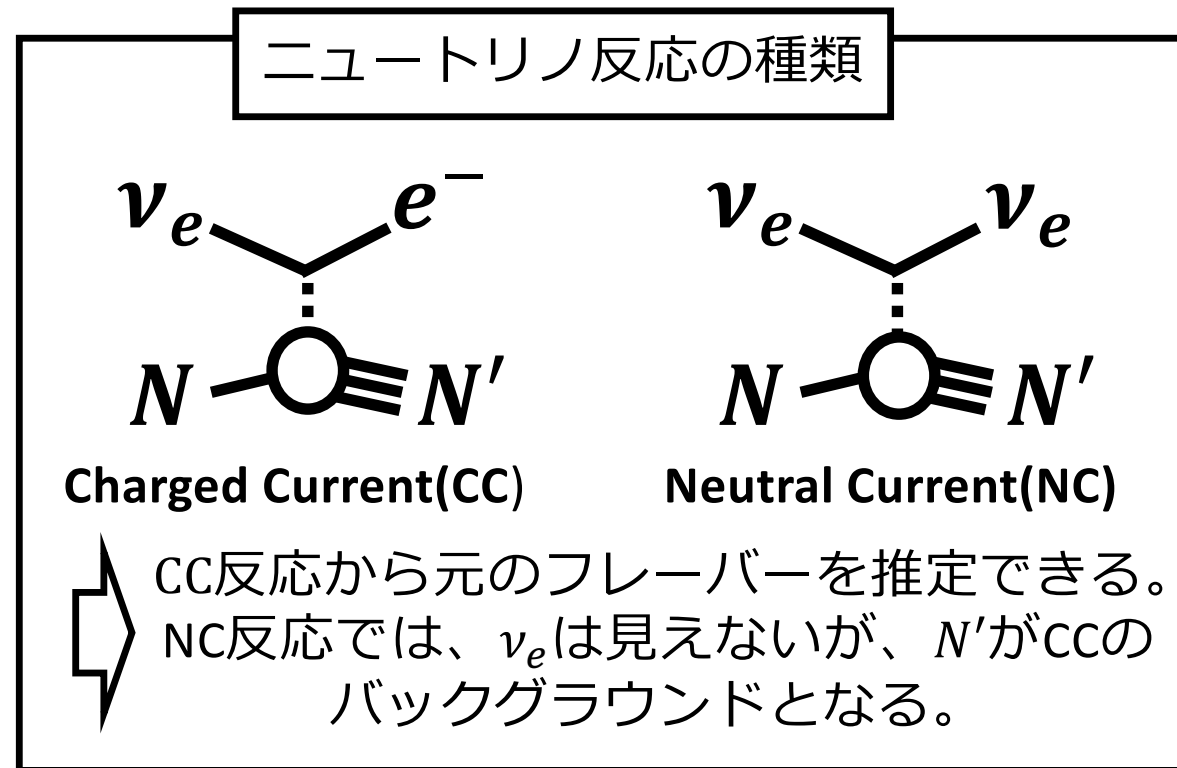


# 目的

現在、高エネルギー・複数リングのイベントは

- CC  $\nu_e$
- CC  $\bar{\nu}_e$
- CC  $\nu_\mu$  and  $\bar{\nu}_\mu$
- NC

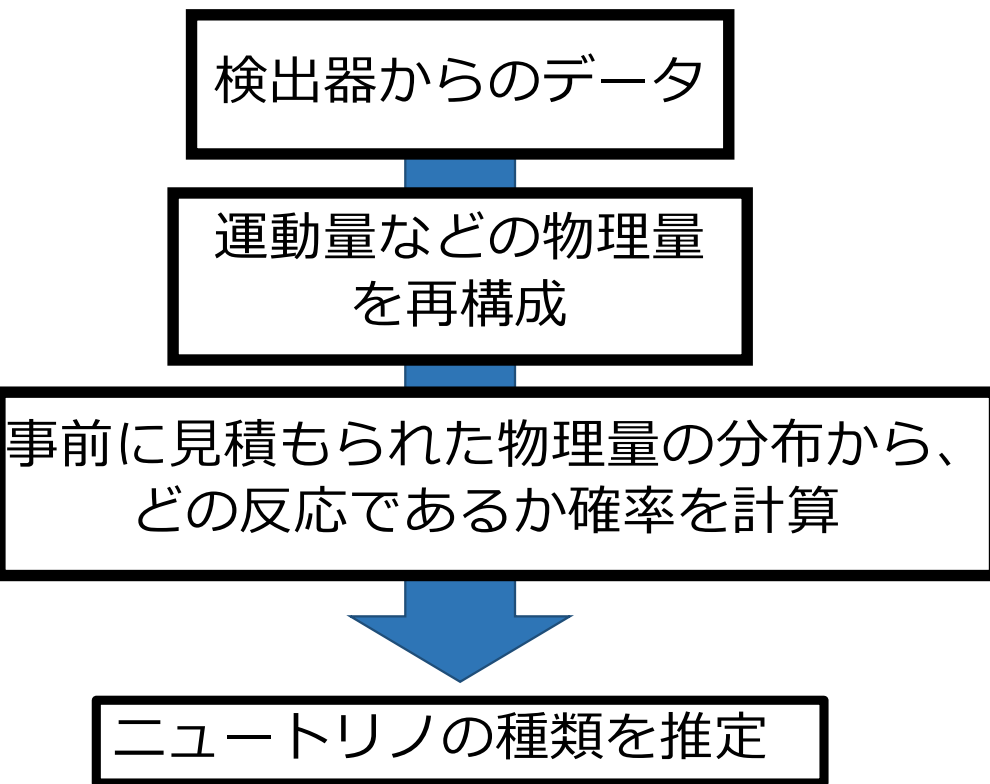
の4つに分類されている。



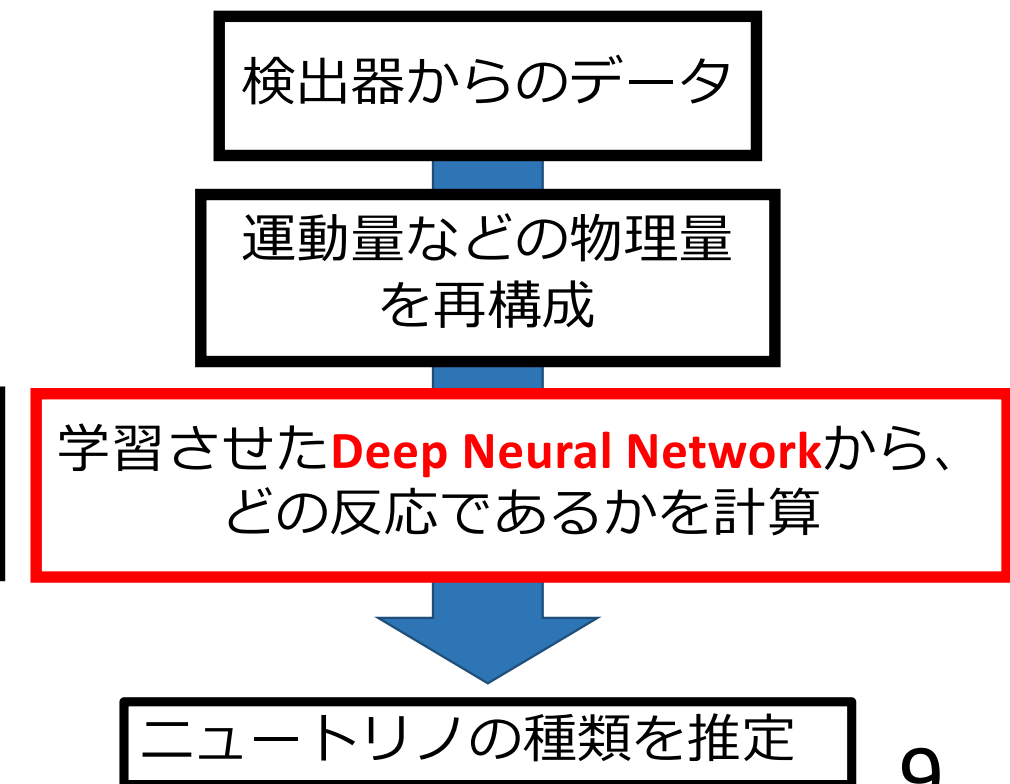
この分類の精度を向上させることが今回の研究の目的である。

# 手法 – 推定までの流れ

(SK)

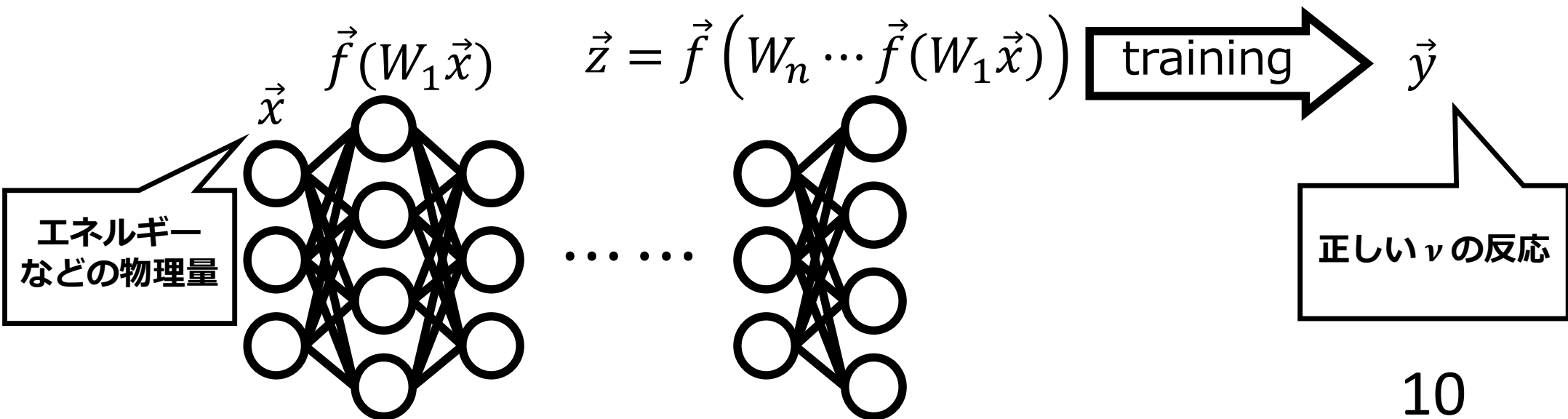


(new)



# 手法 – Deep Neural Network(DNN)による反応の推定

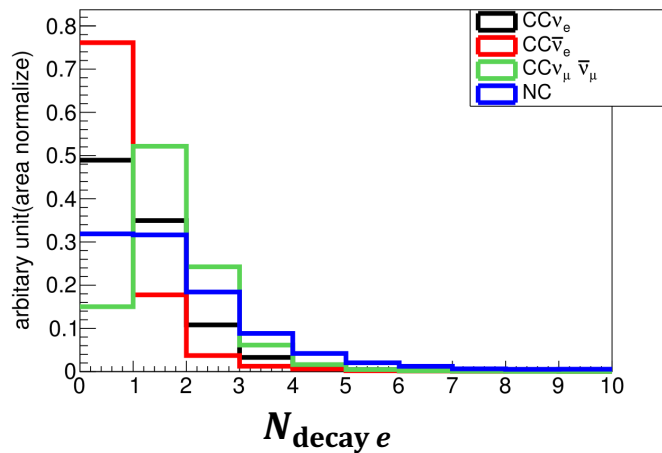
- ・入力データ  $\vec{x}$  に行列  $W$  をかけ、非線形関数  $f$  を作用させて、を繰り返し層の深い非線形関数  $\vec{z}$  を作成。
- ・それと正解ラベル  $\vec{y}$ との間の差が最小になるような  $W$  を計算する。



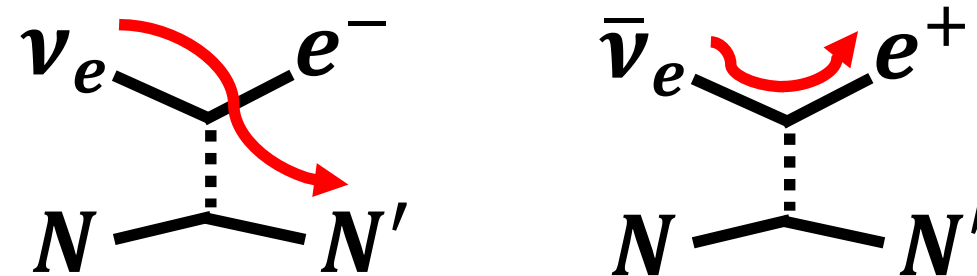
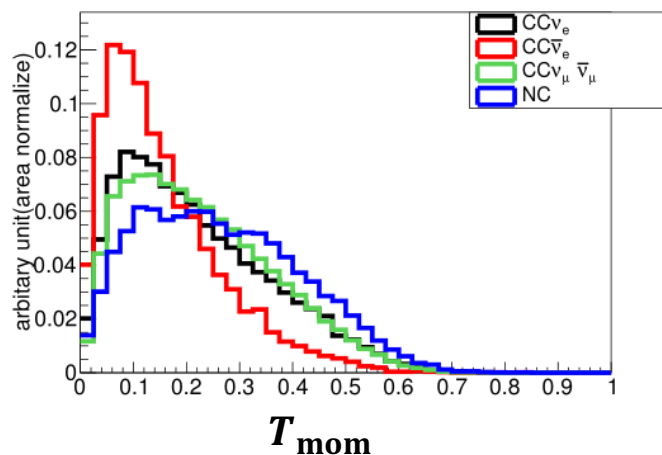
# 手法 - 入力する変数について

Name	Definition
$N_{\text{ring}}$	リングの数
$E_{\text{vis}}$	PMTの全ての電荷から見積もられたエネルギー
$T_{\text{mom}}$	横向き運動量の和
$F_{\text{mom}}$	最もエネルギーの高いリングの運動量 / $E_{\text{vis}}$
$N_{\text{decay } e}$	decay electron(粒子崩壊に伴い発生する電子)の数
$L_{\text{decay } e}$	decay electronの発生点と、イベントの発生点との間の距離
PID	リングを作った粒子が $e$ と $\mu$ のどちらに近いかを表した値

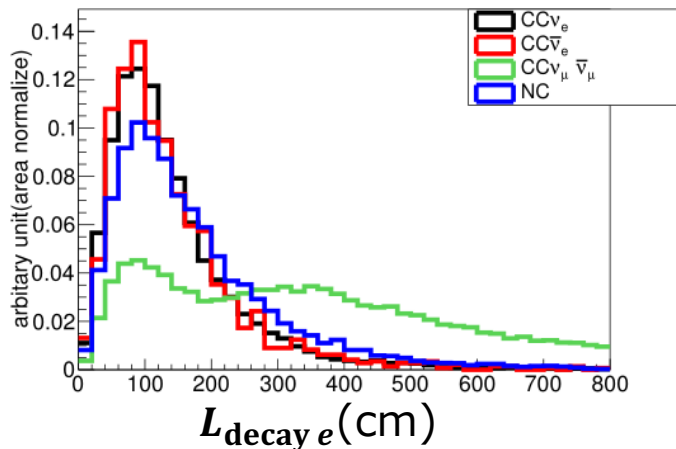
# 手法 - 入力する変数について



- $\bar{\nu}_e$  は  $\nu_e$  よりも反応時の運動量移行が小さく、ハドロンのエネルギーは相対的に減少し、decay electron の数も減少する。
- また、そのため  $\bar{\nu}_e$  の横向き運動量も比較的小さい。



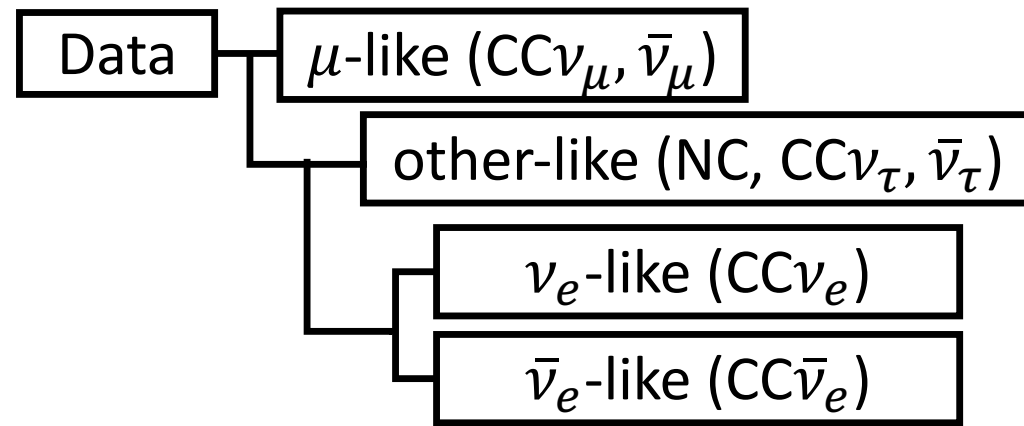
# 手法 - 入力する変数について



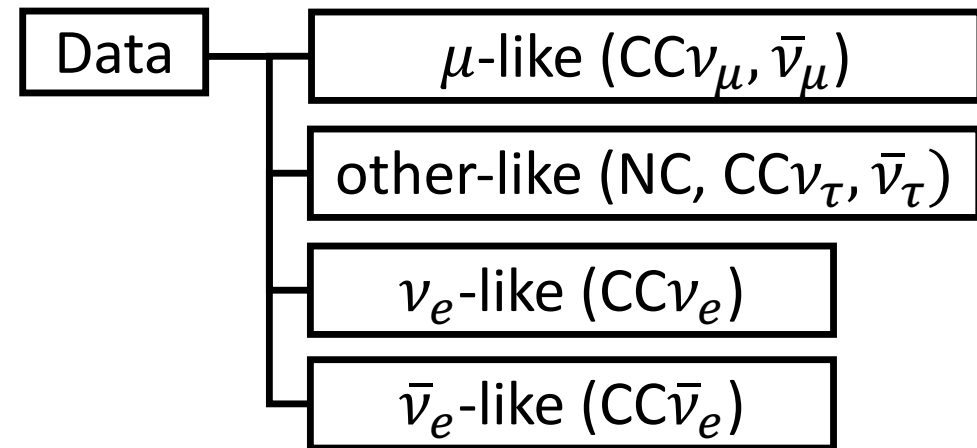
- **CC  $\nu_\mu$**  は  $\nu_\mu$  のCC反応により生成される運動量の大きい  $\mu$  が飛行後にdecay electronに崩壊するため、大きな  $L_{\text{decay } e}$  をもつ。
- 小さな  $L_{\text{decay } e}$  はハドロンの崩壊により生成される  $\mu$  による decay electron によるものである。

# 手法 – 推定の詳細

(SK)



(new)



- Trainingデータとして300年分のシミュレーションを用いる。
- SKの解析と同じ変数を用いて分類を行う。
- 性能は、100年分のシミュレーションを用いて以下の量により評価する。

efficiency = イベントを正しく選別できた割合

contamination = 選別されたイベント中の不正解の割合

# 結果 – 分類の詳細

Current SK method

	$CC\nu_e$	$CC\bar{\nu}_e$	$CC\nu_\mu, \bar{\nu}_\mu$	NC	$CC\nu_\tau, \bar{\nu}_\tau$
$\nu_e$ -like	3322	632	1366	1227	1341
$\bar{\nu}_e$ -like	3324	1685	435	951	806
$\mu$ -like	443	79	22246	865	363
Others	2846	302	4667	3171	2898

New method

	$CC\nu_e$	$CC\bar{\nu}_e$	$CC\nu_\mu, \bar{\nu}_\mu$	NC	$CC\nu_\tau, \bar{\nu}_\tau$
$\nu_e$ -like	4298	640	1837	2076	1267
$\bar{\nu}_e$ -like	3702	1847	733	958	794
$\mu$ -like	465	35	23936	1003	601
Others	1470	176	2208	2177	2746

# 結果 – 分類の詳細

Current SK method

	$CC\nu_e$	$CC\bar{\nu}_e$	$CC\nu_\mu, \bar{\nu}_\mu$	NC	$CC\nu_\tau, \bar{\nu}_\tau$
$\nu_e$ -like	3322	632	1366	1227	1341
$\bar{\nu}_e$ -like	3324	1685	435	951	806
$\mu$ -like	443	79	22246	865	363
Others	2846	302	4667	3171	2898

New method

	$CC\nu_e$	$CC\bar{\nu}_e$	$CC\nu_\mu, \bar{\nu}_\mu$	NC	$CC\nu_\tau, \bar{\nu}_\tau$
$\nu_e$ -like	4298	640	1837	2076	1267
$\bar{\nu}_e$ -like	3702	1847	733	958	794
$\mu$ -like	465	35	23936	1003	601
Others	1470	176	2208	2177	2746

$$\nu_e \text{ efficiency} = \boxed{3322} / \boxed{4298} = 33.4\%(\text{SK}), 43.3\%(\text{new})$$

$CC\nu_e$  が others に分類される数が減少している。

# 結果 – 分類の詳細

Current SK method

	$CC\nu_e$	$CC\bar{\nu}_e$	$CC\nu_\mu, \bar{\nu}_\mu$	NC	$CC\nu_\tau, \bar{\nu}_\tau$
$\nu_e$ -like	3322	632	1366	1227	1341
$\bar{\nu}_e$ -like	3324	1685	435	951	806
$\mu$ -like	443	79	22246	865	363
Others	2846	302	4667	3171	2898

New method

	$CC\nu_e$	$CC\bar{\nu}_e$	$CC\nu_\mu, \bar{\nu}_\mu$	NC	$CC\nu_\tau, \bar{\nu}_\tau$
$\nu_e$ -like	4298	640	1837	2076	1267
$\bar{\nu}_e$ -like	3702	1847	733	958	794
$\mu$ -like	465	35	23936	1003	601
Others	1470	176	2208	2177	2746

$$\nu_e \text{ contamination} = \boxed{632} / \boxed{3322}$$

$$= 57.9\%(\text{SK}), 57.5\%(\text{new})$$

NC が  $\nu_e$ -like に分類される数が増加しているが、 $\nu_e$  が  $\nu_e$ -like に分類される数も増加しているため、contaminationは同程度となっている。

# 結果 – 分類の詳細

Current SK method

	$CC\nu_e$	$CC\bar{\nu}_e$	$CC\nu_\mu, \bar{\nu}_\mu$	NC	$CC\nu_\tau, \bar{\nu}_\tau$
$\nu_e$ -like	3322	632	1366	1227	1341
$\bar{\nu}_e$ -like	3324	1685	435	951	806
$\mu$ -like	443	79	22246	865	363
Others	2846	302	4667	3171	2898

New method

	$CC\nu_e$	$CC\bar{\nu}_e$	$CC\nu_\mu, \bar{\nu}_\mu$	NC	$CC\nu_\tau, \bar{\nu}_\tau$
$\nu_e$ -like	4298	640	1837	2076	1267
$\bar{\nu}_e$ -like	3702	1847	733	958	794
$\mu$ -like	465	35	23936	1003	601
Others	1470	176	2208	2177	2746

$e$ -like efficiency =  $\boxed{ }$  /  $\boxed{ }$  = 70.9%(SK), 83.0%(new)

# 結果 – 分類の詳細

Current SK method

	$CC\nu_e$	$CC\bar{\nu}_e$	$CC\nu_\mu, \bar{\nu}_\mu$	NC	$CC\nu_\tau, \bar{\nu}_\tau$
$\nu_e$ -like	3322	632	1366	1227	1341
$\bar{\nu}_e$ -like	3324	1685	435	951	806
$\mu$ -like	443	79	22246	865	363
Others	2846	302	4667	3171	2898

New method

	$CC\nu_e$	$CC\bar{\nu}_e$	$CC\nu_\mu, \bar{\nu}_\mu$	NC	$CC\nu_\tau, \bar{\nu}_\tau$
$\nu_e$ -like	4298	640	1837	2076	1267
$\bar{\nu}_e$ -like	3702	1847	733	958	794
$\mu$ -like	465	35	23936	1003	601
Others	1470	176	2208	2177	2746

$$\nu_e \text{ contamination} = \boxed{632} / \boxed{3322}$$

$$= 40.6\%(\text{SK}), 42.2\%$$

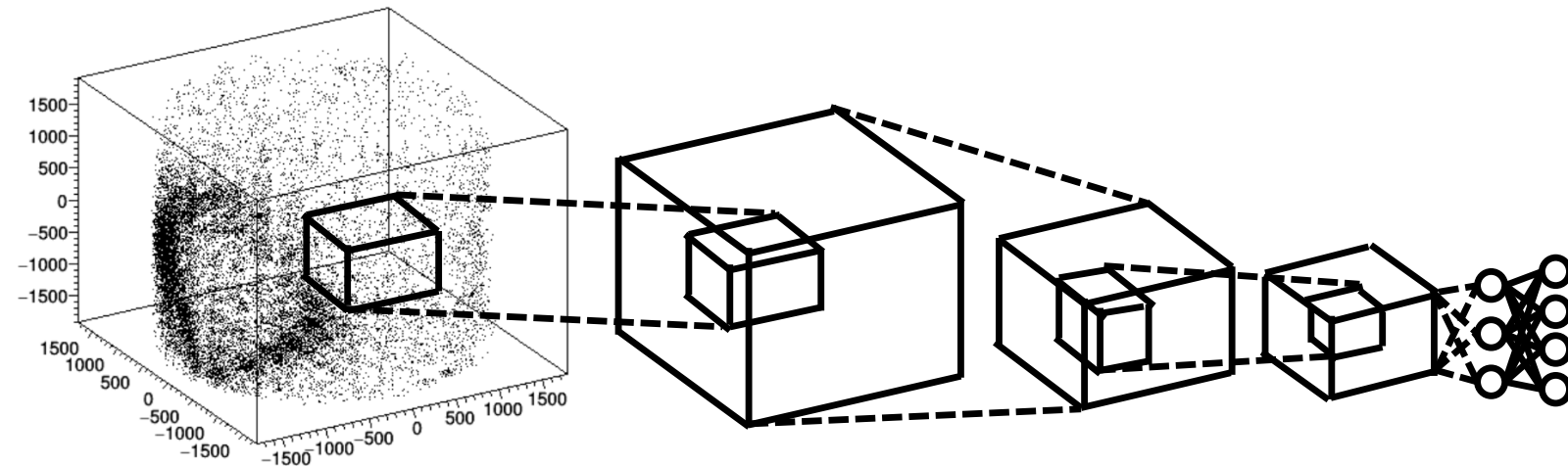
# 結果 – efficiency と contamination

Current SK method		New method			
	Efficiency(%)	Contamination(%)			
$\nu_e$ -like	33.4	57.9	$\nu_e$ -like	43.3	57.5
$\bar{\nu}_e$ -like	62.5	76.6	$\bar{\nu}_e$ -like	68.5	77.0
$\mu$ -like	77.5	7.3	$\mu$ -like	83.4	8.1
Others	51.0	77.2	Others	35.0	75.2
$e$ -like	70.9	40.6	$e$ -like	83.0	42.2

- 特に $e$ -likeや $\mu$ -likeにおいてefficiencyの増加がみられる。

# PMTヒット分布からの事象再構成

- Convolutional Neural Network (CNN)を用いてPMTのヒット画像から反応を識別する方法も現在計算中。



## まとめ

- ・ニュートリノに質量が存在することはニュートリノ振動の観測により発見されたが、その質量の順序についてはまだ明らかになっていない。
- ・質量階層問題解決のため、大気ニュートリノの高エネルギー多リング事象の測定が重要である。
- ・Deep neural network を用いたニュートリノ反応の識別を行った。

## 展望

- ・モンテカルロシミュレーションとデータを比較し、系統不確かさを見積もる。

preliminary

# backup

23